

Bildentauschung (A220)

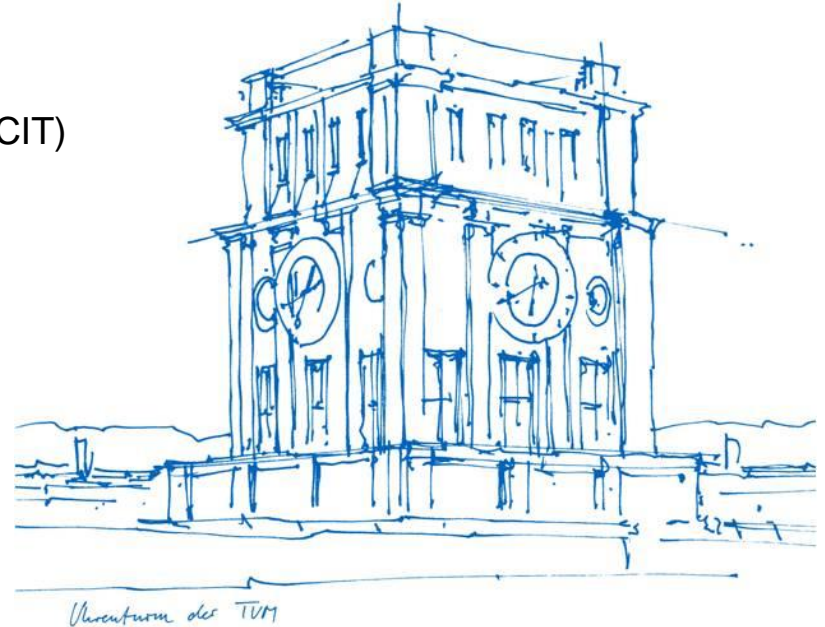
Feres Ben Fraj, Oussama Jeddou, Michael Ries

Technische Universität München

TUM School of Computation Information and Technology (CIT)

Lehrstuhl für Rechnerarchitektur und Parallele Systeme

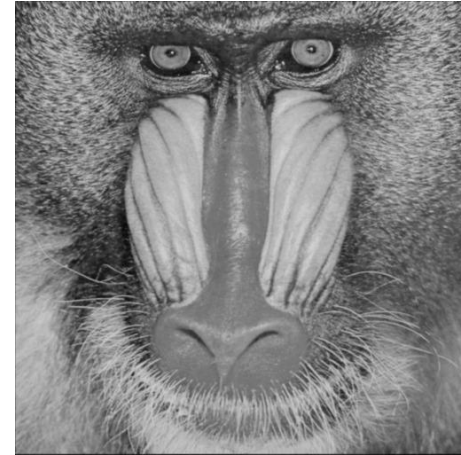
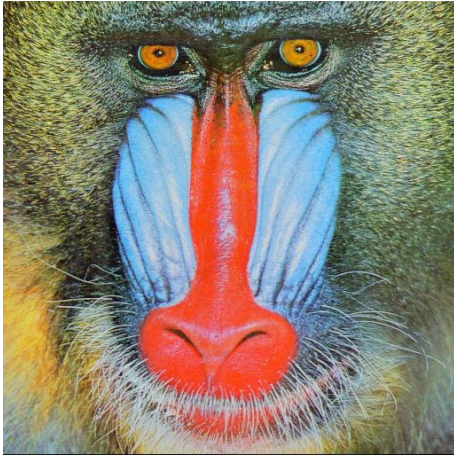
Garching, 12. März 2024



Bildentauschung (A220)

Feres Ben Fraj, Oussama Jeddou, Michael Ries

Garching, 12. März 2024



Graustufenkonvertierung

1. Einzelne Pixel werden mit den 3 Farbwerten R (rot), G (grün), B (blau) dargestellt: $P_{(x,y)} = \begin{pmatrix} R \\ G \\ B \end{pmatrix}$ mit $(x, y) \in \mathbb{D} = \{0, \dots, Breite - 1\} \times \{0, \dots, Höhe - 1\}$
2. Drei Koeffizienten a, b, c gewichten die Farbwerte. Verschiedene Koeffizienten erzeugen unterschiedliche Bildeffekte.
3. Jeder Pixel wird in Graustufe konvertiert durch: $D = \frac{a \times R + b \times G + c \times B}{a + b + c} \quad \forall \quad P_{(x,y)}$
4. Resultierendes Graustufenbild definiert als $Q_{(x,y)} = D$

Laplace-Filter

1. Definition der Faltungsmatrix $M^L = \begin{pmatrix} 0 & 1 & 0 \\ 1 & -4 & 1 \\ 0 & 1 & 0 \end{pmatrix}$

2. Definieren des Faltooperators $*$: $(f * g)[n] = \sum_{m \in \mathbb{D}} f[m]g[n - m]$

3. Berechnung des Laplace-Filters $Q^L \approx M^L * Q$

4. Durch Symmetrie und geringer Größe der Faltungsmatrix kann die Berechnung vereinfacht werden:

$$Q_{(x,y)}^L = \sum_{i=-1}^1 \sum_{j=-1}^1 M_{(1+i,1+j)} \times Q_{(x+i,y+i)}$$

Bsp.: $Q_{(2,2)}^L, Q_{(5,5)}^L, Q_{(2,5)}^L$

1,1	1,2	1,3	1,4	1,5	1,6
2,1	2,2	2,3	2,4	2,5	2,6
3,1	3,2	3,3	3,4	3,5	3,6
4,1	4,2	4,3	4,4	4,5	4,6
5,1	5,2	5,3	5,4	5,5	5,6
6,1	6,2	6,3	6,4	6,5	6,6

Weichzeichnung

1. Definition der Faltungsmatrix $M^W = \begin{pmatrix} 1 & 2 & 1 \\ 2 & 4 & 2 \\ 1 & 2 & 1 \end{pmatrix}$
2. Berechnung der Weichzeichnung $Q^W = \frac{1}{16} \times M^W * Q$

Entraushtes Graustufenbild

Resultierendes entraushtes Graustufenbild ergibt sich durch:

$$Q'_{(x,y)} = \frac{|Q^L_{(x,y)}|}{1020} \times Q_{(x,y)} + \left(1 - \frac{|Q^L_{(x,y)}|}{1020}\right) * Q^W_{(x,y)}$$

mit:

- $Q_{(x,y)} = D = \frac{a \times R + b \times G + c \times B}{a + b + c} \quad \forall \quad P_{(x,y)}$
- $Q^L_{(x,y)} = \sum_{i=-1}^1 \sum_{j=-1}^1 M_{(1+i,1+j)} \times Q_{(x+i,y+i)}$ mit $M^L = \begin{pmatrix} 0 & 1 & 0 \\ 1 & -4 & 1 \\ 0 & 1 & 0 \end{pmatrix}$
- $Q^W = \frac{1}{16} \times M^W * Q$ mit $M^W = \begin{pmatrix} 1 & 2 & 1 \\ 2 & 4 & 2 \\ 1 & 2 & 1 \end{pmatrix}$

Überblick Ansätze

1. Naiv
2. Optimierung durch Rechenreihenfolge
3. SIMD Operationen
4. Parallelisierung mit Threads

Im folgenden definieren wir $n = \text{breite} \times \text{höhe} = \text{Anzahl an Pixeln}$

1. Naive Implementation

Programm:

1. berechne $Q \forall P_{(x,y)}$
2. berechne $Q^W \forall P_{(x,y)}$
3. berechne $Q^L \forall P_{(x,y)}$ & berechne $Q' \forall P_{(x,y)}$

Anzahl Zugriffe:

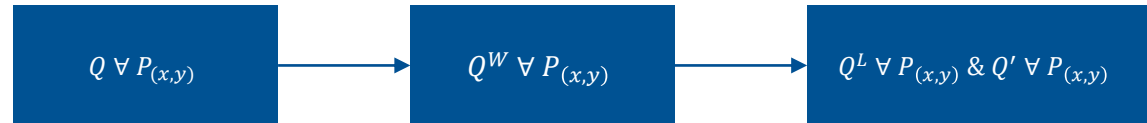
n
n
n

Speicher:

tmp1
tmp2
result

Optimierungen: keine

Laufzeit: 90-95 ns pro Pixel



2. Optimierung durch Rechenreihenfolge

Programm:

1. berechne $Q \forall P_{(x,y)}$
2. berechne $Q^W \& Q^L \Rightarrow Q' \forall P_{(x,y)}$

Anzahl Zugriffe:

n
n

Speicher:

tmp1
result

Optimierungen:

- Ersparnis einer Schleife durch Kombination der Matrizen Berechnung
- Verringerter Speicherbedarf (Kein tmp2 für Zwischenspeicherung von Q^W)

Laufzeit: 63-65 ns pro Pixel



3. SIMD-Operationen

Programm:

1. Initialisierung erste Linie in tmp1 mit 0
2. berechne $Q \forall P_{(x,y)}$ (Als floats)
3. berechne Q^W & $Q^L \Rightarrow Q' \forall P_{(x,y)}$ mit SIMD

Optimierungen:

- Nutzung von SIMD-Operationen für Matrizen Rechnungen:
 - > 3 x tmp1 (statt 9)
 - > 3 x M^L (statt 9)
 - > 3 x mul (statt 9)
 - > 2 x add (statt 8)

Laufzeit: 37-40 ns pro Pixel



4. Parallelisierung mit Threads

Programm:

1. Initialisierung tmp2, Qw (float buffer) mit -1
2. berechne $Q \forall P_{(x,y)}$
3. Starte 3 Threads: $Q^L Q^W Q'$
 - 3.1 berechne $Q^W \forall P_{(x,y)}$
 - 3.2 berechne $Q^L \forall P_{(x,y)}$
 - 3.3 wenn $Q^W_{(x,y)} \wedge Q^L_{(x,y)} \Rightarrow$ berechne $Q'_{(x,y)}$

Optimierung:

- Parallele Ausführung der Berechnungen Q^L, Q^W, Q'

Laufzeit: 53-55 ns pro Pixel



Anzahl Zugriffe:

n

n

n

n

n

Speicher:

tmp2, Qw

tmp1

Qw

tmp2

result

Theoretische Laufzeitanalyse

1. Graustufenberechnung:

$$T_{\text{graustufe}} = \lambda_Q \times n$$

$$T_{\text{graustufe}}(\text{SIMD}) = \lambda_Q \times n + k \times n$$

mit λ_x = Zeit zur Berechnung von x für 1 Pixel

mit k: zusätzliche Laufzeit zum Nullen

2. Berechnung von Q^L, Q^W, Q'

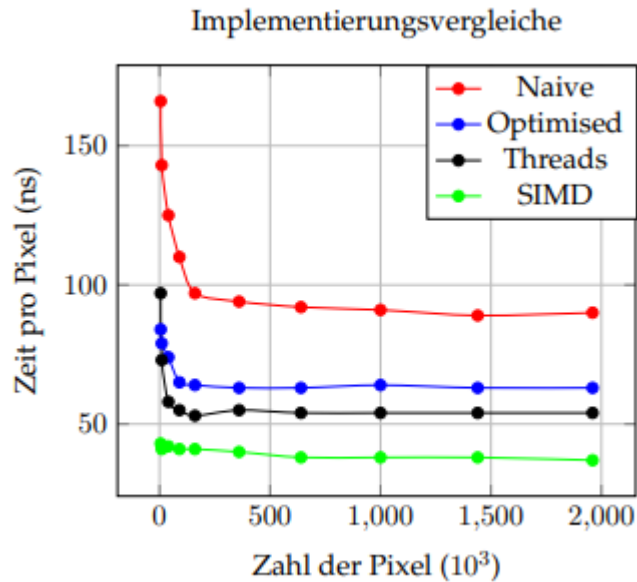
Naive: $T_{Q^L+Q^W+Q'} = (\lambda_{Q^W} + \lambda_{\text{Speicherung } Q^W}) \times n + (\lambda_{Q^L} + \lambda_{Q'} + \lambda_{\text{Zugriff } Q^W}) \times n$

Optimiert: $T_{Q^L+Q^W+Q'} = (\lambda_{Q^W} + \lambda_{Q^L} - 9 \times \lambda_{\text{Zugriff } Q} + \lambda_{Q'}) \times n$

SIMD: $T_{Q^L+Q^W+Q'} = \left(\frac{\lambda_{Q^W} + \lambda_{Q^L} - 9 \times \lambda_{\text{Zugriff } Q}}{3} + \lambda_{Q'} \right) \times n$

Threads: $T_{Q^L+Q^W+Q'} = (\max(\lambda_{Q^W}, \lambda_{Q^L}, \lambda_{Q'}) + \lambda_{\text{Speicher}}) \times n + \lambda_{\text{init}} \times n$

Vergleich reelle Laufzeit & Speicherverbrauch

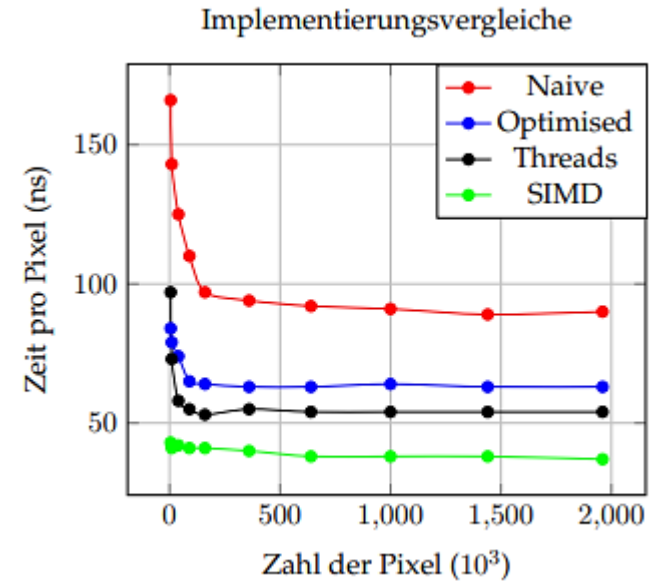


	Naive	Optimiert	SIMD	Threads
Img	$3n$	$3n$	$3n$	$3n$
Result	n	n	n	n
Tmp1	n	n	$4n$	n
Tmp2	n	0	0	n
Zusätzlich	0	0	0	$Qw = 4n$
Summe	$6n$	$5n$	$8n$	$13n$

Vergleich Laufzeiten

- | | |
|--------------|----------|
| 1. Naive | 90-95 ns |
| 2. Optimised | 63-65 ns |
| 3. Threads | 53-55 ns |
| 4. SIMD | 37-40 ns |

Wie zu erwarten SIMD schnellster -> $\sim \frac{1}{3}$ von Naive



Vergleich Speicherverbrauch

- SIMD & Threads verbrauchen meisten Speicher
Grund: Double Nutzung anstelle von uint8
- Optimised verbraucht am wenigsten Speicher

	Naive	Optimised	SIMD	Threads
Img	3n	3n	3n	3n
Result	n	n	n	n
Tmp1	n	n	4n	n
Tmp2	n	0	0	n
Zusätzlich	0	0	0	Qw = 4n
Summe	6n	5n	8n	13n

Zusammenfassung

- SIMD generell am besten = große Laufzeitverbesserung mit leicht größerem Speicherverbrauch
- Threads = große Laufzeitverbesserung ABER großer Speicherverbrauch
- Optimised = sehr Speichereffizient & guter Laufzeitverbesserung